



# آنالیز قابلیت اعتماد سیستم‌های مکانیکی با استفاده از شبیه‌سازی جهتی و یک تکنیک کارآمد نمونه‌گیری مهم

محمدرضا معرف‌زاده

استادیار، مهندسی سازه، دانشگاه امام حسین (ع)، تهران  
\* تهران، صندوق پستی 16535-187، moarefzadeh@ihu.ac.ir

## چکیده

## اطلاعات مقاله

آنالیز قابلیت اعتماد سیستم‌های مکانیکی در شرایط ویژه‌ای با مشکلاتی مواجه می‌شود که لزوماً تمهیدات خاص خود را می‌طلبد. از جمله این شرایط، آنالیز در فضاهای متغیرهای تصادفی بسیار همبسته و یا متغیرهای تصادفی با واریانس‌های بسیار متفاوت است. اگر در این فضاها، که اصطلاحاً "فضاهای بسیار نامتناسب" خوانده می‌شوند، تابع حالت حدی مسئله نیز بسیار غیرخطی باشد، عموماً روش‌های شبیه‌سازی، روش‌های برتر برای آنالیز قابلیت اعتماد شناخته می‌شوند. شبیه‌سازی جهتی از این گونه روش‌هاست که می‌تواند مورد استفاده قرار گیرد. این روش، با این حال، در شکل ساده خود کارایی کمتری را در فضاهای توصیف شده داشته و برای نیل به جواب‌های معقول، شبیه‌سازی‌های فراوانی را لازم می‌دارد. در این مقاله آنالیز قابلیت اعتماد تیغه یک توربین هیدروکینتیکی به‌عنوان یک نمونه مهم از یک سیستم مکانیکی مورد بررسی قرار می‌گیرد که متغیرهای تصادفی مطرح در آن دارای واریانس‌های به‌شدت متفاوتی هستند و بدین ترتیب فضای بسیار نامتناسب و بیماری را برای شبیه‌سازی جهتی می‌سازند. به‌منظور ارتقاء کارایی آنالیز در این چنین فضای کاری، استفاده از نمونه‌گیری مهم در این مقاله پیشنهاد می‌شود و برای کاربرد آن روابط جدیدی برای محاسبات موثرتر ارائه می‌گردد. این روابط سبب می‌گردند که نه تنها آنالیز، که در حالت ساده آن تقریباً برای توربین یاد شده ناممکن است، ممکن شود، بلکه با سرعت بسیار بیشتری نسبت به نوع محاسبات معمول که با استفاده از نمونه‌گیری مهم سنتی انجام می‌گردند، فرآیند محاسباتی انجام شود.

مقاله پژوهشی کامل  
دریافت: 23 فروردین 1396  
پذیرش: 11 خرداد 1396  
ارائه در سایت: 29 تیر 1396  
کلید واژگان:  
قابلیت اعتماد  
توربین هیدروکینتیکی  
شبیه‌سازی جهتی  
نمونه‌گیری مهم  
شاخص ایمنی  
احتمال خرابی

## Reliability analysis of mechanical systems using directional simulation and an efficient importance sampling technique

Mohammad Reza Moarefzadeh

Department of Structural Engineering, University of Imam Hossein, Tehran, Iran  
\* P.O.B. 16535-187, Tehran, Iran, moarefzadeh@ihu.ac.ir

### ARTICLE INFORMATION

Original Research Paper  
Received 12 April 2017  
Accepted 01 June 2017  
Available Online 20 July 2017

### Keywords:

Reliability  
hydrokinetic turbine  
directional simulation  
Importance Sampling  
safety index  
Probability of failure

### ABSTRACT

Reliability analysis of mechanical systems, in some special circumstances, may suffer technical difficulties which need desirable solutions. One such case may exist when working in a space of highly correlated random variables and/or the space of random variables with extremely different variances. If in these spaces, which are so-called "extremely non-proportional spaces", the relevant limit state function is also highly nonlinear, simulation methods are normally preferred for reliability analysis. Directional simulation is one of these methods which is fully well-known. This method, however, may be not efficient if it is crudely applied in these spaces. In such conditions, directional simulation often needs a massive computational effort in order to achieve good and reasonable results. In this paper reliability analysis of a blade of a hydro-kinetic turbine (as an important mechanical system) is performed in which variances of random variables are extremely different and thus create a non-proportional space for directional simulation. To make the analysis more efficient, use of an importance sampling technique with a set of novel relationships is proposed in this paper. These relationships make the required calculations not only possible, but they facilitate the computations to be very fast and efficient compared to those normally used in conjunction with traditional importance sampling methods.

### 1- مقدمه

تجهیزاتی که انجام آنالیز یاد شده در خصوص آن بسیار مهم است توربین‌های هیدروکینتیکی هستند که در فن‌آوری‌های امروز، برای تولید انرژی به‌خصوص از جریان رودخانه‌ها مورد استفاده قرار می‌گیرند. مطالعه المان‌های نامطمئن در این توربین‌ها و به‌خصوص تیغه‌های آن نشان داده است که آنالیز قابلیت اعتماد با شرایط ویژه‌ای که همانا تفاوت فاحش در واریانس‌های متغیرهای تصادفی دخیل در مسئله می‌باشد روبرو است [1-3] و بنابراین تمهیدات

آنالیز قابلیت اعتماد سیستم‌ها و سازه‌های بزرگ و گران قیمت مکانیکی برای حصول اطمینان از عملکرد مناسب آنان در طول عمر مفید خود از اهمیت بالایی برخوردار است. همچنین این آنالیز، امروزه، ابزاری کلیدی برای برآورد هزینه‌های این سیستم‌ها در عمر طراحی شده برای آنان و نیز برنامه‌ریزی‌های علمی برای بازرسی و تعمیر و نگهداری آنان محسوب می‌گردد. از جمله

Please cite this article using:

M. R. Moarefzadeh, Reliability analysis of mechanical systems using directional simulation and an efficient importance sampling technique, *Modares Mechanical Engineering*, Vol. 47, No. 7, pp. 217-224, 2017 (in Persian)

برای ارجاع به این مقاله از عبارت ذیل استفاده نمایید:

www.SJIR.ir

نمونه‌ها انتخاب گردد؟

چگونه پس از شناسایی منطقه با بیشترین اهمیت و نیز معلوم شدن تابع نمونه‌گیری مهم، محاسبات اضافی تحمیلی به عملیات شبیه‌سازی ناشی از کاربرد تکنیک نمونه‌گیری مهم انجام شوند تا حداکثر بهره ناشی از این کاربرد به دست آید؟

در سوابق تحقیقاتی در خصوص شناسایی منطقه‌ای با حداکثر اهمیت در عملیات شبیه‌سازی پژوهش‌های مفصلی انجام گرفته است. در این خصوص عموماً دو استراتژی پیشنهاد می‌شود. استفاده از نقطه با بیشترین احتمال وقوع<sup>3</sup> متداول‌ترین راه‌حلی است که برای جاگذاری تابع نمونه‌گیری مهم پیشنهاد شده است. این نقطه در آنالیز قابلیت اعتماد سازه‌ها شناخته شده بوده و در روش‌های قابلیت اعتماد مرتبه اول<sup>4</sup> نقش اصلی را در تخمین قابلیت اعتماد سازه‌ها بازی می‌کنند. [11,6,5]. استراتژی دوم برای شناسایی این منطقه استفاده از روش‌های جستجو و انطباق دنباله فرآیند عملیات شبیه‌سازی با اطلاعات جدیدی است که در حین پیشرفت این عملیات به دست می‌آید [12] برای نمونه دیده شود.

در مقاله حاضر، از استراتژی اول پیروی خواهد شد. به این معنا که در ابتدای محاسبات، نقطه با بیشترین احتمال وقوع شناسایی می‌گردد و تابع نمونه‌گیری مهم در آن محل قرار داده می‌شود. همچنین در تحقیق حاضر، تابع توزیع احتمال مشترک اولیه به نقطه با احتمال وقوع حداکثر انتقال می‌یابد و از آن به‌عنوان تابع نمونه‌گیری مهم استفاده می‌شود. علت اتخاذ این چنین راه‌حلی در مقاله حاضر آنست که پیش‌بینی می‌گردد که در فضاهای کاری شبیه‌سازی که بسیار نامتناسب می‌باشند از بهترین توابع ممکنه‌ای که می‌توان نمونه‌هایی تولید کرد که همزمان عدم تناسب موجود را در خود داشته باشند استفاده از تابع توزیع مشترک اولیه متغیرهای تصادفی مسئله می‌باشد [8] برای بحث بیشتر ملاحظه گردد.

بدین ترتیب تمرکز اصلی مطالعه فعلی، بحث در خصوص بند (ج) بالا می‌باشد. کاملاً روشن است که اگر محاسبات اضافه تحمیلی به عملیات شبیه‌سازی (نسبت به عملیات شبیه‌سازی ساده که در آن نمونه‌گیری مهم استفاده نمی‌شود) بتوانند یا روشی موثر و با راندمان انجام گیرند به طوری که کمترین محاسبات لازم و بالتبع کمترین زمان کامپیوتری را به دنبال داشته باشند، مجموعه عملیات شبیه‌سازی موثرتر و در نتیجه جذاب تر و کاربردی تر خواهد شد. براساس اطلاعات نویسنده بعضی تلاش‌های اولیه در این ارتباط برای حالات خاص در سوابق تحقیقاتی وجود دارد [13]. معذکال ارائه روابط فراگیرتری مورد نیاز می‌باشد. در این نوشتار نشان داده خواهد شد که زمانی که متغیرهای دخیل در مسئله نرمال باشند می‌توان انتگرال‌های موجود در روش شبیه‌سازی جهتی و نیز تکنیک نمونه‌گیری مهم را به جای حل عددی، به‌طور تحلیلی و با یافتن حل‌های بسته‌ای، حل نمود. این امر به‌طور طبیعی سبب می‌گردد که راندمان آنالیز بالاتر رفته و سرعت بسیار بیشتری در محاسبات پدید آید.

ساختار مقاله حاضر در ادامه بدین ترتیب خواهد بود که ابتدا در بخش‌های 2 و 3 فرمول‌بندی شبیه‌سازی جهتی و نیز نمونه‌گیری مهم در شبیه‌سازی جهتی مورد بحث قرار می‌گیرند و روابط لازم ارائه می‌گردند. در بخش 4 تلاش می‌شود که انتگرال‌های لازم در فرآیند آنالیز قابلیت اعتماد مورد بازبینی قرار گرفته و برخلاف رویه‌های معمول که عموماً رویکردی با حل عددی برای آنان در پیش می‌گیرند، جواب‌های بسته برای آنان یافت

مربوط به خود را طلب می‌کند. از طرف دیگر یکی از مودهای خرابی غالب در این توربین‌ها شکست ناشی از ایجاد لنگر فراتر از تحمل تیغه در محل اتصال آن به محور خود می‌باشد. تابع حالت حدی مربوط به این مود خرابی، تابعی بسیار غیرخطی بوده که این خود نیز پیچیدگی بیشتری برای مسئله ایجاد کرده و بدین ترتیب پیش‌بینی روش‌های متناسب را در آنالیز می‌طلبد.

به‌منظور انجام آنالیز قابلیت اعتماد سیستم‌های توصیف شده در بالا، روش شبیه‌سازی جهتی<sup>1</sup> می‌تواند مورد استفاده قرار گیرد. این روش که در حقیقت در یک سیستم مختصات قطبی در فضای  $n$  بعدی فرمول‌بندی می‌گردد، ابتدا برای کاربرد در فضای (متغیرهای تصادفی) نرمال استاندارد پیشنهاد گردید [5,4]. این روش معذکال بعدها برای استفاده در فضاهای کلی‌تر تعمیم داده شد [9-6]. مهمترین مزیت استفاده از روش شبیه‌سازی جهتی در فضای نرمال استاندارد، وجود یک راه‌حل بسته برای انتگرال‌گیری‌های لازم در راستای جهت‌های شبیه‌سازی شده می‌باشد. این مزیت در صورتی که شبیه‌سازی در فضای اولیه (غیرنرمال استاندارد) انجام گیرد طبیعتاً از دست می‌رود اما سهولت عدم نیاز به انتقال به فضای نرمال استاندارد را به دنبال خواهد داشت. در این گونه فضاها، بدین ترتیب، در یک حالت کلی نیاز به انتگرال‌گیری‌های (عددی) در راستای جهت‌های تولید شده می‌باشد.

در روش شبیه‌سازی جهتی، نظیر هر روش شبیه‌سازی دیگر، کاستی عمده نیاز به حجم محاسبات بالا برای نیل به جواب‌های معقول می‌باشد. این کاستی در شبیه‌سازی، زمانی اهمیت بالاتری می‌یابد که کمیت احتمال خرابی هدف، عددی بسیار کوچک بوده و فضای کاری که متغیرهای تصادفی درگیر در مسئله ساخته‌اند فضایی بسیار نامتناسب و بیمار باشد. این چنین فضایی، زمانی ایجاد می‌گردد که متغیرهای تصادفی مسئله دارای همبستگی بسیار زیادی به یکدیگر باشند (ضریب همبستگی خیلی نزدیک به واحد باشد) و یا واریانس متغیرهای تصادفی یاد شده اختلاف فاحشی با یکدیگر داشته باشند (برای مثال یکی ده‌ها برابر دیگری باشد) و یا ترکیبی از هر دو. در چنین فضایی، متأسفانه روش شبیه‌سازی جهتی کارایی خود را تا حدود زیادی از دست داده و استفاده از آن عملاً کم فایده می‌گردد زیرا نیازمندی روش به تعداد زیاد شبیه‌سازی به شکل عمده‌ای افزایش می‌یابد [8].

روش نمونه‌گیری مهم<sup>2</sup> در چنین فضاهای کاری می‌تواند بسیار موثر واقع گردد. مطابق این روش، تمرکز اصلی روی نمونه‌گیری از منطقه‌ای از فضای تعریف شده می‌باشد که مشارکت آن در مقدار احتمال خرابی بیشتر از محل‌های دیگر باشد. این منطقه بدین ترتیب بایستی ابتدا شناسایی شده و با جاگذاری تابع نمونه‌گیری مهم در آن، عمده نمونه‌ها از آن محل اخذ گردند [10,8]. این عملیات شناسایی و نیز اتخاذ استراتژی جدید نمونه‌گیری به‌طور طبیعی باعث تحمیل حجم محاسبات اضافه‌ای بر فرآیند آنالیز می‌گردد که لازم است حجم آن به‌گونه‌ای کنترل گردد که جذابیت استفاده از روش نمونه‌گیری مهم تحت الشعاع قرار نگیرد.

همان‌طور که از مطالب بالا ملاحظه می‌گردد در یک آنالیز قابلیت اعتماد با استفاده از نمونه‌گیری مهم، ضرورت دارد که برای سه موضوع کاملاً متمایز، راه‌حل‌های مناسب ارائه کرد:

(الف) چگونه مناطق با اهمیت بالا به‌عنوان مناطق مناسب برای جاگذاری تابع نمونه‌گیری مهم شناسایی گردند؟

(ب) چگونه تابع نمونه‌گیری مهم با توجه به نقش تعیین‌کننده آن در کیفیت

<sup>3</sup> Most Probable Point

<sup>4</sup> FORM

<sup>1</sup> Directional simulation method

<sup>2</sup> Importance sampling method

نامتناسبی حاکم بر آنان می‌باشد فرمول‌بندی ساده شبیه‌سازی جهتی که در رابطه (3) ارائه گردید و جهات در آن به‌صورت یکنواخت در فضای  $n$  بعدی تولید می‌گردند کفایت نمی‌کند و برای نیل به یک جواب معقول و مناسب بایستی شبیه‌سازی جهتی به تعداد زیاد انجام گیرد که بسیار وقت گیر خواهد بود. تکنیک نمونه‌گیری مهم، راه حلی موثر برای کاهش واریانس نمونه جهت تولید شده می‌باشد. براساس این تکنیک به‌جای تولید جهات از تابع توزیع احتمال مشترک  $f_A(a)$ ، عمده جهات موردنظر به سمت منطقه‌ای سوق داده می‌شوند که مشارکت بیشتری در مقدار احتمال خرابی  $p_f$  دارد. این هدف می‌تواند با تعریف تابع توزیع احتمال مشترک جدید  $h_B(b)$  صورت گیرد که در آن  $B$  دیگر به صورت یکنواخت نمی‌باشد. با استفاده از  $h_B(b)$ ، رابطه (3) به شکل زیر در می‌آید:

$$p_f = E_B \left[ \int_{r(b)}^{\infty} f_X(rb) \frac{|J_X|}{h_B(b)} dr \right] \quad (6)$$

که در آن  $E_B[ ]$  نشانگر اپراتور نمونه‌گیری جهت از تابع توزیع مشترک  $h_B(b)$  می‌باشد. در خصوص شکل و ترکیب تابع  $h_B(b)$  در سوابق تحقیقاتی پیشنهاداتی ارائه گشته است [8,5]. براساس این پیشنهادات، یک فرم ترکیبی برای استفاده همزمان از جهات با توزیع یکنواخت و جهات سوق داده شده به سمت منطقه موردنظر عبارتست از:

$$h_B(b) = (1-q) f_A(b) + q f_B(b) \quad (7)$$

در این رابطه  $0 \leq q \leq 1$  نسبت تعداد جهات تولید شده از تابع نمونه‌گیری مهم به کل جهات می‌باشد. روشن است که در حالت خاص  $q=0$ ، شبیه‌سازی جهتی به شکل ساده خود کاهش می‌یابد و در حالت  $q=1$ ، تمامی جهات از تابع نمونه‌گیری مهم اخذ می‌گردند.  $f_B(b)$  یک توزیع غیریکنواخت نمونه‌گیری جهتی می‌باشد. این توزیع عموماً با لحاظ یک تابع توزیع مشترک مناسب  $f_Y(y)$  و در نظر گرفتن میانگین آن در نقطه‌ای که سوق دادن جهات به آن موردنظر می‌باشد به‌دست می‌آید (شکل 2 ملاحظه گردد). هرچند خواص احتمالاتی این توزیع اختیاری می‌باشند معذالک برای راندمان بالاتر معمولاً استفاده از تابع توزیع مشترک  $f_X(\cdot)$  توصیه می‌گردد. بنابراین پس از معلوم شدن ترکیب احتمالاتی  $f_Y(y)$  می‌توان نقطه‌ای را به‌صورت تصادفی از آن تولید کرد و جهات  $B=b$  را با لحاظ رابطه  $Y=Hb$  شعاع در فضای قطبی  $(H, B)$  (است) به‌دست آورد:

$$b = \frac{y}{H} = \frac{y}{\|y\|} \quad (8)$$

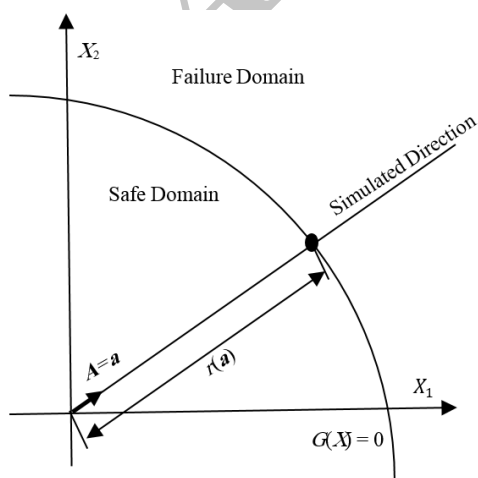


Fig. 1 Directional Simulation

شکل 1 شبیه‌سازی جهتی

گردد. در بخش 5 روابط به‌دست آمده، برای آنالیز قابلیت اعتماد یک تبغه توربین هیدروکنیتیکی به‌کار گرفته می‌شوند. که پارامترهای در آن فضای نامتناسبی را برای آنالیز ایجاد کرده‌اند. نتیجه‌گیری در نهایت، بخش انتهایی این مقاله خواهد بود.

### 2- فرمول بندی شبیه‌سازی جهتی

فرض کنید در یک آنالیز قابلیت اعتماد، سیستم تحت مطالعه با  $n$  متغیر تصادفی نرمال که لزوماً مستقل از یکدیگر نیستند توصیف شده باشد. این متغیرهای تصادفی که مولفه‌های بردار  $X$  را می‌سازند عموماً پارامترهای بارگذاری و مقاومتی سیستم را تعریف می‌کنند. همچنین فرض کنید برای این سیستم، تابع حالت حدی که با  $G(X) = 0$  نشان داده می‌شود تعریف شده باشد. در این تعریف، سیستم خراب شده فرض می‌گردد اگر تابع حالت حدی مقداری غیرمثبت ( $G(X) \leq 0$ ) به خود گیرد و بالعکس سیستم سالم تلقی می‌گردد اگر تابع حالت حدی یاد شده مثبت باشد ( $G(X) > 0$ ). بنابراین برای این سیستم احتمال خرابی می‌تواند به شکل زیر تعریف گردد [11] برای نمونه ملاحظه گردد:

$$p_f = \int_D f_X(x) dx \quad (1)$$

که در آن  $f_X(x)$  تابع توزیع احتمال مشترک متغیرهای تصادفی  $X_1, X_2, \dots, X_n$  (یعنی مولفه‌های بردار  $X$ ) و  $D$  فضایی را نمایش می‌دهد که در آن سیستم خراب شده لحاظ می‌گردد. در فرمول‌بندی شبیه‌سازی جهتی لازم است مسئله در فضای قطبی تعریف گردد. این کار با استفاده از رابطه  $X = RA$  صورت می‌گیرد که در آن  $R \geq 0$  شعاع و  $A$  بردار واحد جهت می‌باشد. برای فضای جدید  $(R, A)$  رابطه (1) به شکل زیر در می‌آید (برای جزئیات بیشتر 7 و 8 ملاحظه گردند):

$$p_f = \int_D f_X(ra) |J_X| dr da \quad (2)$$

که در آن  $|J_X|$  دترمینان ماتریس ژاکوبین بوده و برای نمایش انتقال عنصر دیفرانسیلی به فضای جدید مورد استفاده قرار می‌گیرد. قبلاً نشان داده شده است که عبارت (2) را می‌توان به‌منظور شبیه‌سازی جهتی ساده (شبیه‌سازی بدون نمونه‌گیری مهم) به شکل زیر نوشت [8 ملاحظه گردد]:

$$p_f = E_A \left[ \int_{r(a)}^{\infty} f_X(ra) \frac{|J_X|}{f_A(a)} dr \right] \quad (3)$$

که در آن  $f_A(a)$  تابع توزیع احتمال مشترک مولفه‌های  $A$  و  $E_A[ ]$  اپراتور شبیه‌سازی جهتی از بردار  $A$  می‌باشد. در عبارت بالا طول شعاع در جهت شبیه‌سازی شده  $A=a$  بوده و فاصله مرکز تولید جهات را با محل تقاطع با تابع حالت حدی نمایش می‌دهد (شکل 1 دیده شود). نیز در مرجع یاد شده نشان داده شده است که:

$$\frac{|J_X|}{f_A(a)} = \frac{r^{n-1}}{\left[ \frac{\Gamma(\frac{n}{2})}{\sqrt{2\pi}} \right]^n} \quad (4)$$

در عبارت بالا  $\Gamma(\cdot)$  تابع گاما می‌باشد. از آن‌جا که مخرج عبارت (4) مستقل از  $r$  می‌باشد، انتگرالی که مشروط به جهت تولید شده بایستی محاسبه گردد عبارت خواهد بود از:

$$\int_{r(a)}^{\infty} r^{n-1} f_X(ra) dr \quad (5)$$

### 3- فرمول بندی نمونه‌گیری مهم در شبیه‌سازی جهتی

همان‌طور که اشاره شد در بعضی از فضاهای کاری خاصی که شرایط

که در آن بردار جهت  $b$  معلوم است. حالات زیر در این ارتباط مورد بررسی قرار می‌گیرند:

**4-1- تابع توزیع نرمال استاندارد با میانگین غیر صفر  $x^*$**

اولین حالتی که مورد بررسی قرار می‌گیرد حالتی است که در آن  $f_X(\cdot)$  تابع توزیع مشترک  $n$  متغیر تصادفی نرمال استاندارد با میانگین نقطه ای غیر از مرکز یعنی  $x^*$  باشد  $f_X(\cdot)$  همان  $\phi_n(x)$  یعنی تابع توزیع مشترک نرمال استاندارد با میانگین  $x^*$  باشد (شکل 3 ملاحظه گردد).

در این حالت با استفاده از تقارن شکلی  $\phi_n(\cdot)$  حول مرکزیت  $x^*$  محورهای مختصات جدید  $V$  را چنان تعریف می‌کنیم که محور  $V_1$  در امتداد بردار  $b$  قرارگیرد. به عبارت دیگر دستگاه مختصات  $X$  چنان دوران داده می‌شود که  $X_1$  در امتداد  $b$  جای گیرد. در این حالت با استفاده از رابطه  $x=r b$  خواهیم داشت:

$$I = \int_R r^{n-1} \phi_n(r b - x^*) dr$$

$$= \int_R v_1^{n-1} \phi_n(v_1 - v_1^*; v_2 - v_2^*; \dots; v_n - v_n^*) dv_1 \quad (13)$$

که در آن  $(v_1^*, v_2^*, \dots, v_n^*)$  مولفه‌های بردار نقطه میانگین  $v^*$  (و یا همان  $x^*$ ) در سیستم مختصات  $V$  می‌باشند. در عبارت‌های بالا از این واقعیت‌ها استفاده شده است که در انتگرال‌گیری در امتداد محور  $V_1$  همه مقادیر  $v_2 = v_3 = \dots = v_n = 0$  می‌باشند و نیز تصویر بردار  $x^*$  روی  $V_1$  مقدار  $x^* b$  می‌باشد. حال با استفاده از این واقعیت که:  $x_1^{*2} + x_2^{*2} + \dots + x_n^{*2} = v_1^{*2} + v_2^{*2} + \dots + v_n^{*2}$  و بالتبع  $d^2 = \sum_{i=1}^n x_i^{*2} = \sum_{i=1}^n v_i^{*2} - (x^* b)^2$  می‌توان رابطه (13) را به شکل زیر بازنویسی کرد:

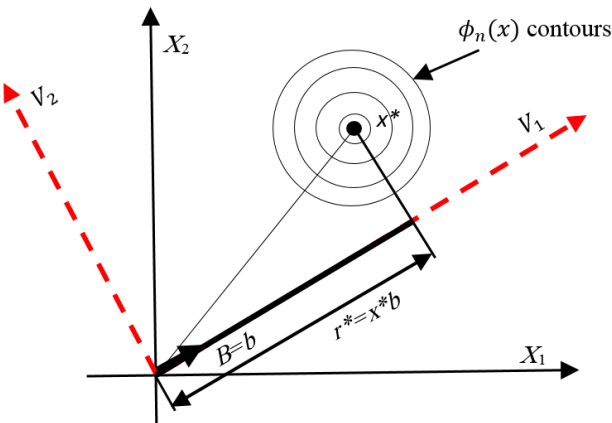
$$I = \frac{e^{-\frac{1}{2}d^2}}{(\sqrt{2\pi})^{n-1}} \int_R r^{n-1} \phi(r - x^* b) dr \quad (14)$$

برای یافتن حل انتگرال موجود در (14) با اخذ  $a = x^* b$  و نیز  $r-a=s$  و  $m=n-1$ ، عبارت 1 به شکل زیر خواهد شد:

$$I = \frac{e^{-\frac{1}{2}d^2}}{(\sqrt{2\pi})^{n-1}} \int_{R-a}^{\infty} (s+a)^m \phi(s) ds \quad (15)$$

حال با استفاده از رابطه  $(x+y)^m = \sum_{k=0}^m \binom{m}{k} x^k y^{m-k}$  خواهیم داشت:

$$I = \frac{e^{-\frac{1}{2}d^2}}{(\sqrt{2\pi})^{n-1}} \sum_{k=0}^m \binom{m}{k} a^{m-k} \int_{R-a}^{\infty} s^k \phi(s) ds \quad (16)$$



**Fig. 3** Integration along  $B=b$  in standard Normal space  
شکل 3 انتگرال‌گیری در راستای  $B=b$  در فضای نرمال استاندارد

که در آن  $\| \cdot \|$  مقدار قدرمطلق بردار را نمایش می‌دهد. از آن‌جا که رابطه میان تابع توزیع مشترک  $f_Y(y)$  در فضای دکارتی و متناظر آن تابع توزیع مشترک  $f_{H,B}(h, b)$  در فضای قطبی توسط عبارت  $f_Y(y) = (1/|Y|) f_{H,B}(h, b)$  قابل بیان می‌باشد (که در آن مجدداً  $|Y|$  دترمینان ماتریس ژاکوبین می‌باشد که رابطه میان دو فضای مختصات را تعریف می‌کند)، می‌توان تابع توزیع مطلوب نمونه‌گیری مهم را بدین ترتیب با انتگرال‌گیری روی همه مقادیر شعاع  $H$  به دست آورد:

$$f_B(b) = \int_0^{\infty} f_{H,B}(h, b) dh = \int_0^{\infty} f_Y(hb) |J_Y| dh \quad (9)$$

از آن‌جا که  $|J_X| = |J_Y| = r^{n-1} g(b)$  بوده که در آن  $g(b)$  تابعی از  $b$  است رابطه (6) حال می‌تواند به شکل زیر نوشته شود:

$$p_f = E_B \left[ \int_{r(b)}^{\infty} f_X(rb) \frac{r^{n-1}}{(1-q) f_A(b) + q \int_0^{\infty} h^{n-1} f_Y(hb) dh} dr \right] \quad (10)$$

همان‌طور که ملاحظه می‌گردد در این عبارت علاوه بر انتگرال اصلی، محاسبه انتگرال دیگری با شکل زیر و با حدهای 0 و  $\infty$  بایستی صورت گیرد:

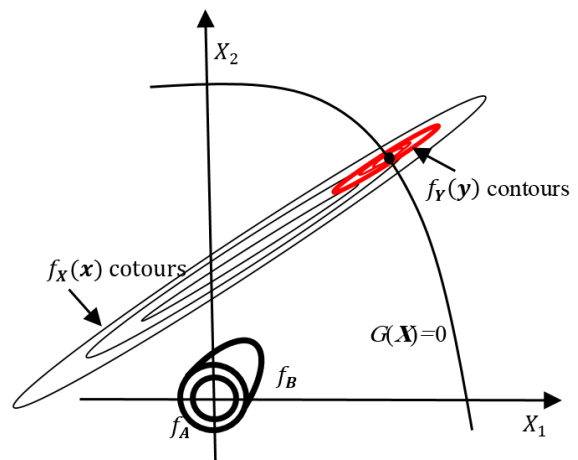
$$\int_0^{\infty} h^{n-1} f_Y(hb) dh \quad (11)$$

کاملاً واضح است که سرعت و راندمان آنالیز قابلیت اعتماد سازه‌ها با استفاده از شبیه‌سازی چیتی و نمونه‌گیری مهم بسیار تحت تاثیر نحوه محاسبه انتگرال‌های (5) و (11) می‌باشد. در یک حالت کلی که در آن  $X$  و  $Y$  بردارهایی مرکب از متغیرهای تصادفی غیرنرمال باشند، انتگرال‌های یاد شده بایستی به صورت عددی محاسبه گردند. معذالک اگر  $X$  بردار متغیرهای تصادفی نرمال باشد و  $Y$  نیز معادل  $X$  (اما با میانگین  $x^*$  یعنی نقطه با حداکثر احتمال وقوع) در نظر گرفته شود، می‌توان فرم بسته‌ای را برای انتگرال‌های یاد شده ارائه نمود. این مطلب موضوع بخش زیرین می‌باشد.

**4- محاسبه انتگرال‌های لازم در آنالیز قابلیت اعتماد**

در این بخش هدف یافتن حل‌های بسته‌ای برای انتگرال‌های (5) و (11) می‌باشد. بنابراین در مباحث زیر در یک فرمول‌بندی که هر دو انتگرال را پاسخگو باشد، جستجو برای یافتن پاسخ بسته به انتگرال زیر خواهد بود:

$$\int_R r^{n-1} f_X(rb) dr \quad (12)$$



**Fig. 2** Importance sampling in directional simulation  
شکل 2 نمونه‌گیری مهم در شبیه‌سازی چیتی

و در انتها با داشتن پاسخ صریح برای انتگرال موجود در (16) داریم:

$$I = I_1 (I_2 + I_3 I_4) \quad (17)$$

که در آن:

$$I_1 = \frac{e^{-\frac{1}{2}d^2}}{(\sqrt{2\pi})^m} \quad (17a)$$

$$I_2 = a^m [1 - \Phi(R - a)] \quad (17b)$$

$$I_3 = \sum_{k=0}^m \binom{m}{k} a^{m-k} \quad (17c)$$

و:

$$I_4 = \phi(R - a) \sum_{j=0}^{\frac{k-1}{2}} \frac{(k-1)!!}{(2j)!!} (R - a)^{2j} \quad (17d)$$

اگر  $k$  فرد باشد و:

$$I_4 = \phi(R - a) \sum_{j=0}^{\frac{k-2}{2}} \frac{(k-1)!!}{(2j+1)!!} (R - a)^{2j+1} + (k-1)!! [1 - \Phi(R - a)] \quad (17e)$$

اگر  $k$  زوج باشد.

در عبارت‌های بالا  $\phi(\cdot)$  و  $\Phi(\cdot)$  به ترتیب تابع توزیع احتمال و تابع توزیع تجمعی نرمال استاندارد بوده و  $!!$  (پراتور فاکتوریل دوگانه می‌باشد).

#### 4-2- $f_X(\cdot)$ تابع توزیع مشترک $n$ متغیر تصادفی نرمال مستقل با بردار میانگین $x^*$ و ماتریس قطری $\sigma_X$

در این حالت، ارائه یک راه‌حل بسته در دو مرحله صورت می‌گیرد. ابتدا سیستم مختصات جدید  $Z$  چنان تعریف می‌گردد که در آن  $Z_i = X_i/\sigma_{X_i}$  (با  $i = 1, 2, \dots, n$ ) می‌باشد. این کار به معنای انقباض هر یک از مقادیر  $X_i$  به اندازه  $\sigma_{X_i}$  در امتداد محور مربوطه می‌باشد. از آن‌جا که بردار  $X$  نرمال و مولفه‌های آن مستقل می‌باشند بردار  $Z$  نیز نرمال و دارای مولفه‌های مستقل هستند. بردار  $Z$  را می‌توان به شکل ماتریسی  $Z = \sigma_X^{-1} X$  نشان داد. میانگین این بردار:

$$z^* = \begin{bmatrix} z_1^* \\ z_2^* \\ \vdots \\ z_n^* \end{bmatrix} = \begin{bmatrix} x_1^*/\sigma_{X_1} \\ x_2^*/\sigma_{X_2} \\ \vdots \\ x_n^*/\sigma_{X_n} \end{bmatrix} \quad \text{تویا: } z^* = \sigma_X^{-1} x^* \quad (18)$$

و ماتریس کوواریانس آن ماتریس واحد است (یعنی:  $C_Z = I$ ). در عبارت بالا  $\sigma_X^{-1}$  یک ماتریس قطری از مرتبه  $n$  با عناصر عکس انحراف معیار مولفه‌های  $X_i$  می‌باشد. در این حالت خواهیم داشت:

$$I = \int_R r^{n-1} f_X(rb) dr = \frac{1}{\prod_{i=1}^n \sigma_{X_i}} \int_R r^{n-1} f_Z(r \sigma_X^{-1} b) dr \quad (19)$$

حال با مقایسه این رابطه با عبارت (12)، می‌توان یک بردار جدید بنام  $b'$  را با واحدسازی بردار  $\sigma_X^{-1} b$  تعریف کرد (یعنی:  $b' = \sigma_X^{-1} b / \|\sigma_X^{-1} b\|$ ). با دوران سیستم مختصات  $Z$  و ایجاد سیستم مختصات  $V$  به نحوی که محور  $V_1$  در راستای بردار  $b'$  قرار گیرد، عبارت (17) به شکل زیر در خواهد آمد:

$$I = I_1 (I_2 + I_3 I_4) \quad (20)$$

که در آن:

$$I_1 = \frac{e^{-\frac{1}{2}d^2}}{(\sqrt{2\pi})^m (\prod_{i=1}^{m+1} \sigma_{X_i}) C_1^{m+1}} \quad (20a)$$

$$I_2 = C_2^m [1 - \Phi(C_1 R - C_2)] \quad (20b)$$

$$I_3 = \sum_{k=0}^m \binom{m}{k} C_2^{m-k} \quad (20c)$$

و:

$$I_4 = \phi(C_1 R - C_2) \sum_{j=0}^{\frac{k-1}{2}} \frac{(k-1)!!}{(2j)!!} (C_1 R - C_2)^{2j} \quad (20d)$$

اگر  $k$  فرد باشد و:

$$I_4 = \phi(C_1 R - C_2) \sum_{j=0}^{\frac{k-2}{2}} \frac{(k-1)!!}{(2j+1)!!} (C_1 R - C_2)^{2j+1} + (k-1)!! [1 - \Phi(C_1 R - C_2)] \quad (20e)$$

اگر  $k$  زوج باشد.

که در آنان  $m=n-1$  بوده و مقادیر  $C_1$ ،  $C_2$  و  $d^2$  از روابط زیر به دست می‌آیند:

$$C_1 = b'^T \sigma_X^{-1} b$$

$$C_2 = b'^T \sigma_X^{-1} x^*$$

$$d^2 = \sum_{i=2}^n v_i^{*2} = \sum_{i=1}^n \left( \frac{x_i^*}{\sigma_{X_i}} \right)^2 - (C_2)^2$$

#### 4-3- $f_X(\cdot)$ تابع توزیع مشترک $n$ متغیر تصادفی نرمال همبسته با بردار میانگین $x^*$ و ماتریس کوواریانس $C_X$

در این حالت، ارائه یک حل بسته در سه مرحله صورت می‌گیرد:

الف) ایجاد یک سیستم مختصات جدید  $W$  که در آن متغیرهای تصادفی، مستقل از یکدیگر باشند. همان‌گونه که از سوابق تحقیقاتی می‌توان یافت، ارتباط دو سیستم  $X$  و  $W$  با استفاده از عبارت  $W = \Lambda X$  برقرار می‌شود که در آن  $\Lambda$  ماتریسی است که سطرهاى آن بردارهای ویژه متناظر مقادیر ویژه‌های هستند که برای ماتریس  $C_X$  به دست آمده‌اند. در فضای  $W$  متغیرهای تصادفی نرمال، مستقل و دارای بردار میانگین  $w^*$  و ماتریس کوواریانس  $C_W$  زیر می‌باشند:

$$w^* = \Lambda x^* \quad (21)$$

$$C_W = \Lambda C_X \Lambda^T$$

ماتریس  $C_W$ ، ماتریسی قطری بوده که عناصر قطر آن مجذور مقادیر ویژه می‌باشند ( $\sigma_{W_i} = \lambda_i$  که در آن  $\lambda_i$ ،  $i$  امین مقدار ویژه می‌باشد).

ب) ایجاد سیستم مختصات  $Z$  که با انقباض محورهای  $W_i$  متناسب با  $\sigma_{W_i}$  صورت می‌گیرد (یعنی:  $Z_i = W_i/\sigma_{W_i}$ ) و یا به شکل ماتریسی  $Z = \sigma_W^{-1} W$  که در آن  $\sigma_W^{-1}$  ماتریس قطری با عناصر  $1/\sigma_{W_i}$  می‌باشد. در این سیستم مختصات بردار میانگین عبارتست از  $z^* = \sigma_W^{-1} w^* = \sigma_W^{-1} \Lambda x^*$  و ماتریس کوواریانس ماتریسی واحد است. حال در این سیستم مختصات، انتگرال مطلوب خواهد شد:

$$I = \int_R r^{n-1} f_X(rb) dr = |\Lambda| \int_R r^{n-1} f_Z(r \sigma_W^{-1} \Lambda b) dr \quad (22)$$

که در آن  $|\Lambda|$  دترمینان ماتریس ژاکوبین برای ایجاد ارتباط میان  $f_X(\cdot)$  و  $f_Z(\cdot)$  می‌باشد. با استفاده از روابط بالا می‌توان نشان داد که این دترمینان برابر است با  $|\sigma_W^{-1} \Lambda|$ . حال با مقایسه این رابطه با عبارت (12) می‌توان بردار جدیدی بنام  $b''$  تعریف کرد که با واحدسازی بردار  $\sigma_W^{-1} \Lambda b$  به دست می‌آید (یعنی:  $b'' = \sigma_W^{-1} \Lambda b / \|\sigma_W^{-1} \Lambda b\|$ ).

ج) ایجاد سیستم مختصات  $V$  با دوران سیستم مختصات  $Z$  به گونه‌ای که محور  $V_1$  بر راستای بردار  $b''$  منطبق گردد. حال با استفاده از رابطه  $v_1^* = b''^T \sigma_W^{-1} \Lambda x^*$  و دانستن  $\sum_{i=2}^n v_i^{*2} = \sum_{i=1}^n z_i^{*2} - v_1^{*2}$  می‌باشد

داریم:

$$I = \left[ \prod_{i=2}^n \phi(v_i^*) \right] |\sigma_W^{-1} \Lambda| \int_R r^{n-1} \phi[(b''^T \sigma_W^{-1} \Lambda b) r - (b''^T \sigma_W^{-1} \Lambda x^*)] dr \quad (23)$$

که در آن:

$$\prod_{i=2}^n \phi(v_i^*) = \frac{1}{(\sqrt{2\pi})^{n-1}} \exp \left\{ -\frac{1}{2} \left[ \sum_{i=1}^n (\sigma_w^{-1} \Lambda x^*)^2_i - (b^{nT} \sigma_w^{-1} \Lambda x^*)^2 \right] \right\} \quad (24)$$

با استفاده از روابط بالا، می‌توان  $I$  در (23) را از رابطه زیر یافت:

$$I = I_1 (I_2 + I_3 I_4) \quad (25)$$

که در آن:

$$I_1 = \frac{e^{-\frac{1}{2}d^2} C_3}{(\sqrt{2\pi})^m C_1^{m+1}} \quad (25a)$$

$$I_2 = C_2^m [1 - \Phi(C_1 R - C_2)] \quad (25b)$$

$$I_3 = \sum_{k=0}^m \binom{m}{k} C_2^{m-k} \quad (25c)$$

و:

$$I_4 = \phi(C_1 R - C_2) \sum_{j=0}^{\frac{k-1}{2}} \frac{(k-1)!!}{(2j)!!} (C_1 R - C_2)^{2j} \quad (25d)$$

اگر  $k$  فرد باشد و:

$$I_4 = \phi(C_1 R - C_2) \sum_{j=0}^{\frac{k-2}{2}} \frac{(k-1)!!}{(2j+1)!!} (C_1 R - C_2)^{2j+1} + (k-1)!! [1 - \Phi(C_1 R - C_2)] \quad (25e)$$

اگر  $k$  زوج باشد.

در این عبارات  $m=n-1$  بوده و مقادیر  $C_1, C_2, C_3$  و  $d^2$  از روابط زیر به دست می‌آیند:

$$\begin{aligned} C_1 &= b^{nT} \sigma_w^{-1} \Lambda b \\ C_2 &= b^{nT} \sigma_w^{-1} \Lambda x^* \\ C_3 &= |\sigma_w^{-1} \Lambda| \end{aligned}$$

$$d^2 = \sum_{i=1}^n (\sigma_w^{-1} \Lambda x^*)^2_i - (C_2)^2$$

حال با یافتن روابط جدید و بسیار مهم (17)، (20) و (25) که حل‌های بسته‌ای با فرض نرمال بودن متغیرهای تصادفی مسئله برای انتگرال‌های موجود در رابطه (10) ارائه می‌دهند، می‌توان آنالیز قابلیت اعتماد را با استفاده از روش شبیه‌سازی چپتی و نیز با استفاده از تکنیک نمونه‌گیری مهم، بسیار با راندمان تر و بدون نیاز به انتگرال‌گیری عددی انجام داد. در مثالی که ذیلا می‌آید نشان داده خواهد شد که چگونه می‌توان در یک فضای کاری بسیار نامتناسب که در آن متغیرهای تصادفی دارای انحراف معیارهای بسیار متفاوتی می‌باشند و بدین ترتیب چاره‌ای جز استفاده از تکنیک‌هایی مثل نمونه‌گیری مهم نمی‌باشد، می‌توان این تکنیک را بسیار کارآمدتر به کار گرفت و با سرعت به مراتب بیشتری به نتایج دلخواه دست یافت.

### 5- مثال - آنالیز قابلیت اعتماد یک تیغه توربین هیدروکینتیکی

در این مثال احتمال خرابی یک تیغه توربین هیدروکینتیکی مورد بررسی قرار می‌گیرد که از مراجع [3,2] اقتباس گردیده است. این توربین فرض می‌گردد که در رودخانه‌ای به کار گرفته می‌شود که دارای جریان آبی با سرعت‌های متفاوت و با طبیعتی تصادفی در طول 12 ماه در سال می‌باشد. شکل هندسی تیغه این توربین که بال گونه می باشد در شکل 4 و نیز بارگذاری ناشی از جریان آب روی تیغه در شکل 5 نشان داده شده‌اند.

لنگر خمشی ایجاد شده در ریشه تیغه (محل اتصال آن به محور) از رابطه  $M_{flap} = 1/2 \rho C_m v(t)^2$  به دست می‌آید [3,2]. مود خرابی که در این جا

مورد توجه است ایجاد لنگر خمشی در این ناحیه از تیغه، فراتر از لنگر خمشی قابل تحمل و به دنبال آن شکست تیغه است. بنابراین تابع حالت حدی متناظر خواهد شد:

$$G(X) = M_{resist} - M_{flap} = \frac{\varepsilon_a E I}{h_1} - \frac{1}{2} \rho C_m v(t)^2 \quad (26)$$

در این رابطه  $M_{flap}$  لنگر ایجاد شده در نقطه اتصال به محور،  $M_{resist}$  لنگر مقاوم،  $\varepsilon_a$  کرنش مجاز مصالح تیغه،  $v(t)$  سرعت جریان آب در رودخانه محل نصب توربین،  $\rho = 10^3 \text{ kg/m}^3$  چگالی آب جریان رودخانه،  $C_m = 0.3422$  ضریب لنگر،  $E = 14 \text{ GPA}$  مدول یانگ و  $I$  ممان اینرسی سطح مقطع در محل ریشه تیغه بوده و توسط رابطه  $I = \frac{2}{3} l_1 (h_1^3 - h_2^3)$  محاسبه می‌گردد. ابعاد  $l_1, l_2$  و  $h_1$  در شکل 4 نشان داده شده‌اند.

در این مثال پارامترهای  $v(t), l_1, l_2, h_1$  و  $h_2$  به عنوان متغیرهای تصادفی با خواص احتمالاتی مندرج در جدول 1 در نظر گرفته می‌شوند. سرعت آب در این مثال تابعی از زمان بوده و میانگین و انحراف معیار آن نیز مطابق عبارات زیر تابعی از زمان تعریف شده‌اند:

$$\begin{aligned} \mu_{v(t)} &= \sum_{i=1}^4 a_i^m \sin(b_i^m t + c_i^m) \\ \sigma_{v(t)} &= \sum_{i=1}^4 a_i^s \exp \left\{ - \left[ \frac{t - b_i^s}{c_i^s} \right]^2 \right\} \end{aligned} \quad (27)$$

در روابط بالا  $a$  و  $b$  ثابت بوده و مقادیر آنان عبارتند از:

$$\begin{aligned} a_1^m &= 3.815 & b_1^m &= 0.2895 & c_1^m &= -0.2668 \\ a_2^m &= 2.528 & b_2^m &= 0.5887 & c_2^m &= 0.9651 \\ a_3^m &= 1.176 & b_3^m &= 0.7619 & c_3^m &= 3.116 \\ a_4^m &= -0.07856 & b_4^m &= 2.183 & c_4^m &= -3.161 \end{aligned}$$

$$\begin{aligned} a_1^s &= 0.7382 & b_1^s &= 6.456 & c_1^s &= 0.9193 \\ a_2^s &= 1.013 & b_2^s &= 4.075 & c_2^s &= 1.561 \\ a_3^s &= 1.875 & b_3^s &= 9.913 & c_3^s &= 6.959 \\ a_4^s &= 1.283 & b_4^s &= 1.035 & c_4^s &= 2.237 \end{aligned}$$

در این مثال متغیرهای تصادفی مستقل از یکدیگر لحاظ می‌گردند و نیز تنها مقادیر مثبت سرعت جریان آب در رودخانه در نظر گرفته خواهند شد.

در آنالیز حاضر، توجه به این واقعیت که مقادیر نوعی برای انحراف معیار  $\sigma_{v(t)}$  در زمان‌های مختلف چیزی در حدود 4.5 می‌باشد، و نیز با توجه به مقادیر متناظر برای بقیه متغیرهای تصادفی که در جدول 1 قید شده‌اند، ملاحظه می‌گردد که تفاوت بسیار قابل ملاحظه‌ای میان آنان وجود دارد که متاسفانه باعث ایجاد فضای بسیار نامتناسب و بیماری برای شبیه‌سازی چپتی در شکل ساده آن می‌گردد. همان‌طور که قبلا خاطر نشان گردید در این چنین فضایی ناچاراً بایستی از روش نمونه‌گیری مهم استفاده کرد.

در یک حالت ایده‌آل لازم است به منظور آنالیز قابلیت اعتماد تیغه توربین یاد شده یک آنالیز وابسته به زمان ارائه گردد. علت این امر طبیعت وابسته به زمان فرآیند بارگذاری روی این تیغه می‌باشد که قاعدتاً با یک فرآیند تصادفی بایستی نمایش داده شود. با این حال از آن‌جا که این نوع آنالیز در حیطه نظر این مقاله نمی‌باشد، در این جا یافتن مقادیر احتمال خرابی "لحظه‌ای"،  $p_f(t)$

جدول 1 متغیرهای تصادفی و خواص احتمالاتی آنان

Table 1 Random Variables and their probabilistic properties

نوع توزیع	انحراف معیار	میانگین	متغیر تصادفی
گوسی	$\sigma_{v(t)}$	$\mu_{v(t)}$	$v(t)$ (m/sec)
گوسی	0.002	0.22	$l_1$ (m)
گوسی	0.00025	0.025	$h_1$ (m)
گوسی	0.00019	0.019	$h_2$ (m)
گوسی	0.00025	0.025	$\varepsilon_a$

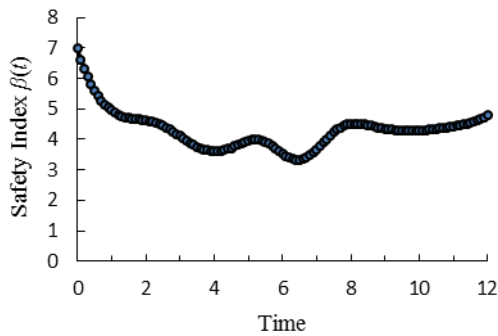


Fig 7 Safety index of turbine blade at different times,  $\beta(t)$

شکل 7 شاخص سلامتی تیغه توربین در زمان‌های مختلف،  $\beta(t)$

مثال حاضر تجربه نشان داد که حتی با تعیین یک میلیارد شبیه‌سازی جهتی یکنواخت، مقدار قابل‌اعتنایی برای  $p_f(t)$  ها به‌دست نمی‌آید. به این معنا که عمده جهات شبیه‌سازی شده از دست رفته و منجر به محاسبه مقدار قابل قبولی برای  $p_f(t)$  نمی‌گردد. بنابراین چاره‌ای جز استفاده از تکنیک‌هایی مثل نمونه‌گیری مهم باقی نمی‌ماند.

ب) اگر انتگرال‌های موجود در روابط (5) و (11) به‌صورت عددی محاسبه گردند، زمان بسیار قابل ملاحظه‌ای بیشتر از حالتی صرف خواهد شد که انتگرال‌های یاد شده توسط روابط ارائه شده توسط این مقاله (در این مثال رابطه (25)) محاسبه گردند. برای مثال، اگر یک میلیون شبیه‌سازی جهتی برای محاسبه هر یک از  $p_f(t)$  ها (با  $t$  مشخص) در نظر گرفته شود CPU مربوط به آنالیز با استفاده از انتگرال‌گیری عددی حدوداً پنجاه برابر بیشتر از حالتی است که روابط تحلیلی ارائه شده در این تحقیق استفاده شوند.

بنابراین ملاحظه می‌گردد که از آن‌جا که ایجاد امکان تعداد شبیه‌سازی‌های بیشتر در روش‌های شبیه‌سازی بسیار کلیدی و مهم می‌باشد، استفاده از روابط پیشنهادی برای محاسبه انتگرال‌ها این فرصت را برای آنالیز کننده فراهم می‌نماید که در مسائل پیچیده، شبیه‌سازی‌های بیشتری را برای نیل به جواب‌های دقیق‌تر با زمان معقول‌تری انجام دهد.

در جداول 2 و 3 اثر تعداد شبیه‌سازی‌های جهتی و نیز ضریب  $q$  (معادله (7) ملاحظه گردد) در مقدار  $p_f(t)$  مورد مطالعه قرار گرفته‌اند (در این‌جا برای نمونه  $t=6$  انتخاب شده است). همان‌طور که از این دو جدول ملاحظه می‌گردد، زمانی که تعداد شبیه‌سازی‌ها افزایش می‌یابد مقادیر  $p_f(t)$  به سمت مقدار پایداری پیش خواهد رفت، همان‌طور که انتظار می‌رود. همچنین مقدار  $q$  در این مثال در مقادیر نهایی  $p_f(t)$  تاثیر قابل ملاحظه‌ای ندارد به‌طوری‌که حتی با  $q$  های کوچک، مقادیر  $p_f(t)$  مناسب به‌دست می‌آیند.

### 6- بحث و نتیجه گیری

همان‌طور که از سوابق تحقیقاتی کاملاً آشکار و معلوم می‌باشد روش‌های شبیه‌سازی و از جمله شبیه‌سازی جهتی این مزیت عمده را نسبت به روش

جدول 2 اثر تعداد شبیه‌سازی‌های جهتی در  $p_f$  در  $t=6$

تعداد شبیه‌سازی جهتی	$p_f(t=0)$
100	$0.1678 \times 10^{-3}$
1,000	$0.2234 \times 10^{-3}$
10,000	$0.2117 \times 10^{-3}$
100,000	$0.2128 \times 10^{-3}$
1000,000	$0.2094 \times 10^{-3}$
10,000,000	$0.2095 \times 10^{-3}$

تذکر: در اینجا  $q=0.7$  مورد استفاده قرار گرفته است.

و شاخص‌های ایمنی متناظر یعنی  $\beta(t)$ ، (با تعریف شناخته شده آن یعنی  $\beta(t) = -\Phi^{-1}[p_f(t)]$ ) و با لحاظ خواص احتمالاتی لحظه‌ای فرآیند گفته شده به‌دست می‌آیند. در اشکال 6 و 7 این مقادیر در زمان‌های مختلف  $t$  در بازه زمانی [0-12] ماه توسط روش شبیه‌سازی جهتی پیشنهادی و استفاده از نمونه‌گیری مهم محاسبه شده و ارائه گشته‌اند. مقایسه شاخص‌های ایمنی ارائه شده در این‌جا با آن‌هایی که در مرجع [2] گزارش شده‌اند نشان می‌دهد که جواب‌ها بسیار به یکدیگر نزدیک هستند (جواب‌های مرجع [2] نشان داده نشده‌اند).

در محاسبه  $p_f(t)$  و متناظر آنان  $\beta(t)$  نکات ذیل مشاهده گردیدند:

الف) از آن‌جا که مقادیر واریانس متغیرهای تصادفی دوم تا پنجم بسیار کوچک می‌باشند، فضای کاری  $X$  بسیار نامتناسب و بیمار بوده و بدین ترتیب انتظار می‌رود که شبیه‌سازی ساده منجر به جواب مناسبی نخواهد شد. در

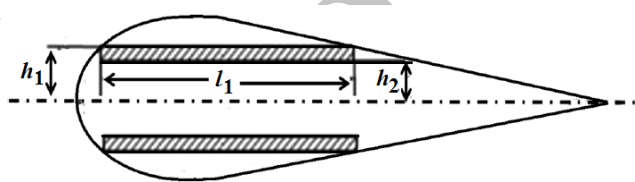


Fig. 4 Turbine blade cross section at its root area

شکل 4 سطح مقطع تیغه توربین در محل اتصال به محور

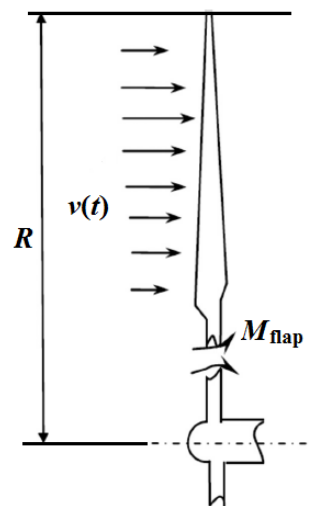


Fig. 5 Flow loading on turbine blade

شکل 5 بارگذاری جریان روی تیغه توربین

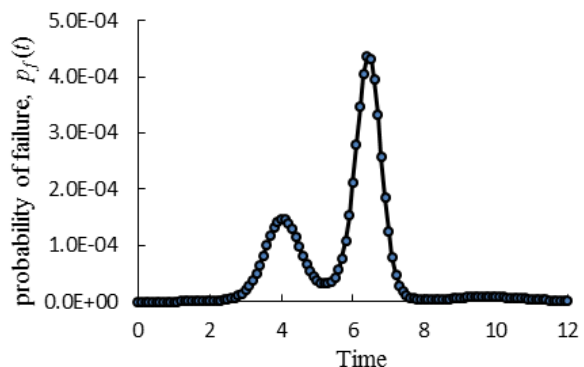


Fig. 6 Probability of failure of turbine blade at different times,  $p_f(t)$

شکل 6 احتمال خرابی تیغه توربین در زمان‌های مختلف،  $p_f(t)$

قابل قبولی آنالیز شده و جواب‌های مناسب با دقت معقول به دست آیند.

جدول 3 اثر مقدار ضریب  $q$  در  $p_f(t)$

Table 3 Effect of  $q$  coefficient on  $p_f(t)$

$q$	$p_f(t)$
0.1	$0.2117 \times 10^{-3}$
0.2	$0.2095 \times 10^{-3}$
0.3	$0.2123 \times 10^{-3}$
0.4	$0.2127 \times 10^{-3}$
0.5	$0.2128 \times 10^{-3}$
0.6	$0.2130 \times 10^{-3}$
0.7	$0.2128 \times 10^{-3}$
0.8	$0.2151 \times 10^{-3}$
0.9	$0.2148 \times 10^{-3}$

تذکر: در اینجا  $t=6$  و تعداد جهات شبیه سازی 100,000 لحاظ گشته اند.

قابلیت اعتماد مرتبه اول دارند که اولاً در فضای اولیه  $X$  (بدون انتقال به فضای نرمال استاندارد) می‌توانند به کار آیند و ثانیاً در حالتی که تابع و یا توابع حالات حدی بسیار غیرخطی باشند روش‌های شبیه‌سازی روش‌های دقیق‌تری خواهند بود (نیازی به خطی‌سازی تابع حالت حدی وجود ندارد). با این حال در روش‌های شبیه‌سازی از جمله شبیه‌سازی چیتی به‌خصوص اگر فضای موجود کاری فضای نامتناسب و بیمار باشد متأسفانه برای نیل به پاسخ مناسب نیاز به زمان بسیار محاسباتی خواهند داشت. استفاده از تکنیک‌هایی مثل نمونه‌گیری مهم، هر چند نشان داده شده است که بسیار موثر می‌باشد معذالک حجم محاسبات اضافه‌ای را همزمان به محاسبات لازم تحمیل می‌کند.

در این مقاله بمنظور بهره‌گیری بیشتر از تکنیک نمونه‌گیری مهم در روش شبیه‌سازی چیتی، حل‌های بسته‌ای برای انتگرال‌های مطرح در مسئله در حالتی که متغیرهای تصادفی نرمال باشند پیشنهاد شدند. این حل‌های بسته سبب بی‌نیازی از انجام محاسبات پر حجم انتگرال‌گیری عددی در هر شبیه‌سازی چیتی شده و به‌دنبال آن محاسبات با سرعت بسیار بیشتری به پاسخ‌های لازم همگرا گردیدند.

روشی که برای آنالیز قابلیت اعتماد سیستم‌های مکانیکی در این مقاله ارائه گردید به این ترتیب این امکان را ایجاد می‌کند که سیستم‌های پیچیده‌ای که متغیرهای تصادفی تعریف شده آنان دارای خواص احتمالاتی دلخواه بوده و نیز توابع حالات حدی آنان بسیار غیرخطی باشند، با سرعت

### 7- مراجع

- [1] Z. Hu, X. Du, Reliability analysis for hydrokinetic turbine blades, *Renewable Energy*, Vol. 48, pp. 251-262, 2012.
- [2] Z. P. Mourelatos, Z. M. Majcher, V. Pandey, I. Baseski, Time-dependent reliability analysis using the total probability theorem, *Journal of Mechanical Design*, Vol. 137, No. 3, pp. 031405-1 031405-8, 2015.
- [3] Z. Hu, X. Du, A sampling approach to extreme value distribution for time-dependent reliability analysis, *Journal of Mechanical Design*, Vol. 135, No. 7, pp. 071003-1 071003-8, 2013.
- [4] O. Ditlevsen, A. M. Hasofer, P. Bjerager, R. Olesen, Directional simulation in Gaussian space, *Probabilistic Engineering Mechanics*, Vol. 3, No. 4, pp. 207-17, 1988.
- [5] P. Bjerager, Probability integration by directional simulation, *Journal of Engineering Mechanics*, Vol. 114, No. 8, pp. 1285-302, 1988.
- [6] O. Ditlevsen, R. E. Melchers, H. Gluwer, General multi-dimensional probability integration by directional simulation, *Computers and Structures*, Vol. 36, No. 2, pp. 355-68, 1990.
- [7] R. E. Melchers, Radial importance sampling for structural reliability, *Journal of Engineering Mechanics*, Vol. 189, No. 116(1), pp. 189-203, 1990.
- [8] M. R. Moarefzadeh, R. E. Melchers, Directional importance sampling for ill-proportioned spaces, *Structural Safety*, Vol. 21, No. 1, pp. 1-22, 1999.
- [9] J. Nie, B. R. Ellingwood, Directional methods for structural reliability analysis, *Structural Safety*, Vol. 22, No. 3, pp. 233-249, 2000.
- [10] J. F. Richard, W. Zhang, Efficient high-dimensional importance sampling, *Journal of Econometrics*, Vol. 141, No. 2, pp. 1385-1411, 2007.
- [11] R. E. Melchers, *Structural Reliability; Analysis and Prediction*, Second Edition, pp. 94-131, England: John Wiley, 1999.
- [12] F. Grooteman, An adaptive directional importance sampling method for structural reliability, *Probabilistic Engineering Mechanics*, Vol. 26, No. 2, pp. 134-141, 2011.
- [13] Sh. Okuda, H. Kobayasi, M. Yonezawa, An efficient method of structural reliability analysis based on a directional importance sampling simulation (A determination of equivalent directional importance sampling probability densities weighted in the direction of the design points), *Transactions of the Japan Society of Mechanical Engineers, Series A*, Vol. 79, No. 801, pp. 609-619, 2013.